

УДК 677.08.021

## ДЕФОРМАЦИЯ КОМПЛЕКСА ИЗ ВОЛОКОН НА СЪЕМНОМ ВАЛИКЕ В ПРОЦЕССЕ СЪЕМА

Д. ЭНХТУЯ, П. БААСАНСУРЭН

(Монгольский университет науки и техники)

Технологический процесс обработки разнородного волокнистого сырья из отходов ости и пуха на съемном круговом зубчатом цилиндре будем рассматривать в виде сплошной волокнистой среды, состоящей из отдельных отрезков, связанных между собой.

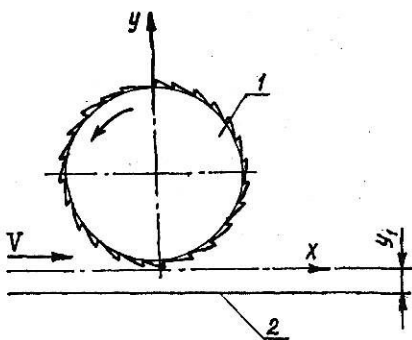


Рис. 1

Несжимаемый воздушный поток проходит относительно цилиндра 1 парал-

лельно оси  $x$  со скоростью  $U$  на бесконечности (рис. 1 – схема взаимодействия зубчатого цилиндра и кожуха). Граничное условие состоит в том, что функция тока  $\psi$  постоянна на твердой стенке кожуха 2 (рис. 1) и поэтому имеет одно и то же значение на плоскости, параллельной оси  $x$ , и на поверхности цилиндра при сближении кожуха 2 и уменьшении зазора  $s_1$ . Для больших  $|z|$  комплексный потенциал  $\omega$  должен стремиться к  $U_z$ .

Положив  $z = A/\zeta$  видим, что ось  $x$  переходит в ось  $\xi$ . Окружность переходит в прямую, параллельную оси  $\xi$ , которую можно определить, взяв  $z=2ia$ , откуда  $\zeta=-iA/2a$ . При этом выбираем  $A$  так, чтобы это значение  $\zeta$  стало равным  $i\pi/2$ ,

то есть  $A=-\pi a$ . Тогда  $z = -\frac{\pi a}{\zeta}$ .

Если  $z \rightarrow \infty$ , то  $\omega$  стремится к  $U_z = -\pi a U / \zeta$ , что соответствует дипольному источнику в начале координат, чтобы  $\omega$  стало действительным на границах  $\eta = 0$  и  $\eta = i\pi/2$ . Для  $\eta = 0$  это выполняется автоматически, а для  $\eta = i\pi/2$  достигается прибавлением  $-\pi a U / (\xi - i\pi)$ .

Эта функция аналитическая при  $0 \leq \eta \leq \pi/2$  и поэтому допустима. Однако данная функция нарушает условие при  $\eta = 0$  и поэтому необходимо прибавить еще  $-\pi a U / (\xi + i\pi)$ .

Прибавление идет до тех пор, пока  $f(z)$  не имеет других особых точек, кроме конечного числа полюсов и ограничена на бесконечности. Функция  $f(z)$  с точностью до аддитивной постоянной является суммой главных частей разложения в окрестности полюсов с контуром  $C$ , который охватывает все полюса функции  $f(t) / (t-2)$ .

Поскольку  $f(z)$  при большом числе  $t$  ограничена, интервал равен конечной величине – фиксированному числу  $R$  при всех  $|z| > R$ , так как  $f(z)$  обращается в бесконечность в некоторых точках вне любого заданного контура.

Делая контуры  $C_m$  все больше и больше, мы охватываем все большие полюсы и добавляем к сумме все большие членов, а интервал в итоге даст остаточный член. Если он стремится к нулю, то при  $R_m \rightarrow \infty$  сумма сходится и становится равной  $f(z)$ , что отражается следующей формулой:

$$\left| \int_{C_m} \frac{zf(t)}{t(t-2)} dt \right| < \frac{M|z| \cdot 2\pi \cdot 2}{R_m - |z|} \rightarrow 0. \quad (1)$$

Таким образом,

$$f(z) = f(0) + \lim \{P_m(z) - P_m(0)\}, \quad (2)$$

где  $P_m(z)$  – сумма главных частей  $f(z)$  по всем полюсам  $\alpha$  внутри  $C_m$ .

Если при  $z=0$  функция является аналитической и не имеет других особенностей, кроме полюсов, при конечных  $z$ , и если можно выбрать последовательность контуров  $C_m$ , охватывающих  $z=0$  и стремящихся к бесконечности таким образом, что  $|f(z)|$  никогда не превосходит данной величины  $M$  ни на одном из этих контуров, а  $a \int |dz/z|$  равномерно ограничен на них, то справедливо выражение (2).

Используя высказанное, получаем

$$\omega = -\pi a U \left( \frac{1}{\zeta} + \frac{1}{\zeta - i\pi} + \frac{1}{\zeta + i\pi} + \frac{1}{\zeta - 2i\pi} + \frac{1}{\zeta + 2i\pi} \dots \right) = -\pi a U \operatorname{cth} \zeta = \pi a U \operatorname{cth} \frac{\pi a}{z}.$$

Этот ряд действителен при  $z=x$  и стремится к  $U_z$  при  $|z| \rightarrow \infty$ , что и требовалось

определить. На окружности цилиндра радиус-вектор равен  $2i \sin \theta$ , а

$$z = 2a \sin \theta e^{i\theta}, \quad \zeta = -\frac{1}{2} \pi \operatorname{cosec} \theta e^{-i\theta} = -\frac{1}{2} \pi (\operatorname{ctg} \theta - i),$$

$$\omega = -\pi a U \operatorname{cth} \left( \frac{1}{2} \pi i - \frac{1}{2} \pi \operatorname{ctg} \theta \right) = \pi a U \operatorname{th} \left( \frac{1}{2} \pi \operatorname{ctg} \theta \right),$$

откуда  $\Omega$  действительно, а скорость определяется из выражения

$$U = \left| \frac{d\omega}{dz} \right| = \left| \frac{U\pi^2 a^2}{z^2 Sh^2 \pi a/z} \right|.$$

Если  $z$  действительно и стремится к нулю, то  $U \rightarrow 0$ . Отсюда следует, что линейная скорость воздуха относительно подвижного цилиндра равна нулю на линии касания цилиндра с осью  $x$ , движущегося с такой же линейной скоростью.

В верхней точке окружности  $z = 2ia$ ,  $\zeta = i\pi/2$ , откуда

$$U_B = \left| \frac{1}{4} \pi^2 U \operatorname{cosec}^2 \frac{1}{2}\pi \right| = \frac{1}{4} \pi^2 U.$$

Таким образом, скорость воздуха над цилиндром будет примерно в 2,5 раза больше скорости в бесконечности, а давление соответственно меньше. Следовательно, подъем волокон по разным аэrodинамическим характеристикам и весу может регулироваться при изменении зазора  $u_1$  и плотности волокон на зубчатом цилиндре.

Рассматривая трехмерное геометрическое тело, образованное из поверхности  $\Sigma_0$ , в каждой точке проведем внешнюю нормаль и отложим в ее направлении отрезок  $h/2$ , где величина  $h$  может быть переменной толщины в зависимости от плотности волокон на зубчатом цилиндре и зависеть от  $a^1, a^2$ .

Проведем аналогичным способом внутреннюю нормаль в каждой точке  $\Sigma_0$  и отложим в ее направлении отрезок такой же длины. Концы этих отрезков лежат на поверхности  $\Sigma_+$ . Тело, лежащее между поверхностями  $\Sigma_+$  и  $\Sigma_-$ , называется оболочкой со срединной поверхностью  $\Sigma_0$  [1].

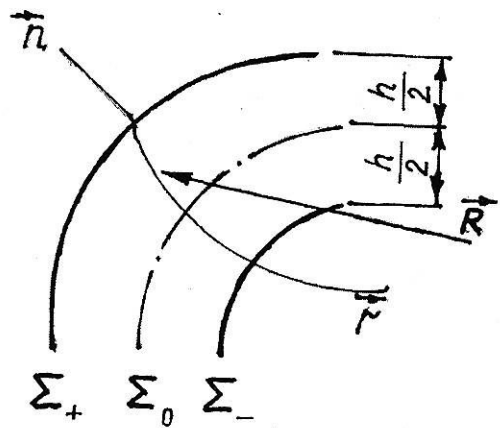


Рис. 2

Ввиду того, что практически  $h$  – суммарная величина гарнитуры и плотности волокнистого материала, а  $D$  – диаметр поверхности  $\Sigma_0$ , равный по величине зубчатому цилиндру, с четким обоснованием  $h \ll D$ . Тогда любой точке оболочки может быть поставлен в соответствие радиус-вектор  $\vec{R}$  (рис. 2 – трехмерное геометрическое тело):

$$\vec{R} = \vec{r} + z\vec{n}, \quad -\frac{h}{2} \leq z \leq \frac{h}{2}. \quad (3)$$

После преобразования этого уравнения по  $a'$  получим

$$\vec{R}_I = \vec{r} + z\vec{n} = (\delta_I^k - v_I^k z) \vec{e}_k, \quad (4)$$

где  $\vec{R}_I$  – вектор локального базиса, описываемый радиусом-вектором  $\vec{R}$ .

Тогда фундаментальная матрица  $G_{IJ}$  произвольной точки оболочки имеет вид

$$G_{IJ} = \vec{R}_I \cdot \vec{R}_J = g_{IJ} - 2zv_{IJ} + z^2 v_I^k v_{KJ}^k. \quad (5)$$

Приведем симметричный тензор  $v_{IJ}$  к главным осям и обозначим его главные значения  $v_{11}^*$  и  $v_{12}^*$  следующим образом:

$$v_{11}^* = \frac{1}{\rho_1}, \quad v_{12}^* = -\frac{1}{\rho_2}, \quad (6)$$

где  $\rho_a, \beta = 1,2$  – радиусы главных изгибов кривизны.

В связи с тем, что оболочка тонкая, выполняется условие

$$\left| \frac{z}{\rho_\beta} \right| << 1, \quad \beta = 1,2. \quad (7)$$

Для тонких оболочек последним слагаемым в правой части выражения (5) можно пренебречь, тогда получим

$$G_{IJ} = g_{IJ} - 2zb_{IJ}. \quad (8)$$

После деформирования радиус-вектор  $\vec{R}'$  произвольной точки оболочки зависит от трех параметров  $a^1, a^2$  и  $z$ :

$$\vec{R}' = \vec{R}'(a^1, a^2, z), \quad -\frac{h}{2} \leq z \leq \frac{h}{2}. \quad (9)$$

При  $z=0$  получим

$$\vec{R}'(a^1, a^2, 0) = \vec{r}(a^1, a^2). \quad (10)$$

Кинематические гипотезы всех теорий оболочек заключаются в выборе априорного представления радиуса-вектора (9), которое разлагают в тот или иной ряд по степеням  $z$  и оставляют некоторые члены этого разложения. Если оставить лишь первую степень  $z$ , то имеем

$$\vec{R}' = \vec{r}' + zc', \quad (11)$$

где  $c'$  – некоторый вектор.

Согласно теории Кирхгофа-Лява

$$\vec{c} = \vec{n}'. \quad (12)$$

Кинематические характеристики теории Кирхгофа-Лява связаны с вектором

$$\epsilon'_{IJ} = \frac{1}{2} (G'_{IJ} - G_{IJ}) = \frac{1}{2} (g'_{IJ} - g_{IJ}) - z(b'_{IJ} - b_{IJ}), \quad (20)$$

перемещений  $\vec{u}$ , который в любой точке оболочки равен

$$\vec{u} = \vec{R}' - \vec{R}. \quad (13)$$

С учетом выражений (11) и (12) запишем

$$\vec{u}' = \vec{r}' + z\vec{n}' - \vec{r} - z\vec{n} = \vec{u} + z(\vec{n}' - \vec{n}). \quad (14)$$

Приняв во внимание, что

$$\vec{n}' = \vec{n} + \vec{\psi}, \quad (15)$$

из выражения (14) получаем

$$\vec{u}' = \vec{u} + z\vec{\psi}. \quad (16)$$

Векторы Ренера в произвольной точке оболочки после ее деформирования из (11) и (12) получаем в виде

$$\vec{R}' = \vec{r}' + z\vec{n}' = \vec{r}' - z b_{IJ}^J \vec{r}_J'. \quad (17)$$

Тогда фундаментальная матрица  $G'_{IJ}$  имеет вид

$$G_{IJ} = \vec{R}_I \vec{R}_J = g_{IJ}' - 2zb_{IJ}' + z^2 b_I^J b_{kJ}. \quad (18)$$

Для тонких оболочек последним слагаемым в (18) можно пренебречь в связи с (7):

$$\left| z b_I^{Jk} \right| \leq 1.$$

Тогда вместо (18) имеем

$$G_{IJ} = g_{IJ}' - 2zb_{IJ}'. \quad (19)$$

Компоненты тензора деформаций  $\epsilon'_{IJ}$  для произвольной точки оболочки равны

а с учетом компоненты тензора деформа-

ций и деформированного состояния  $g'_{IJ}$ :

$$\epsilon'_{IJ} = \frac{1}{2} (g'_{IJ} - g_{IJ}) = \frac{1}{2} (\mu_{IJ} + \mu_{IJ} + \mu_I^k \mu_{kI} + \psi_I \psi_J) \quad (21)$$

и

$$v'_{IJ} = v_{IJ} - \chi_{IJ}, \quad (22)$$

где  $\chi_{IJ}$ ,  $v'_{IJ}$  – соответственно тензоры исправлений и кривизны.

В результате получим

$$\epsilon'_{IJ} = \epsilon_{IJ} + \chi_{IJ}, \quad (23)$$

В связи с тем, что тензор деформаций произвольной точки оболочки должен быть трехмерным, в дополнение к компонентам  $\epsilon'_{IJ}$  найдем компоненты  $\epsilon'_{i3}$ , с учетом  $\vec{R}'_{33} = \vec{n}' = \vec{n} + \vec{\psi}$ ,  $\vec{R}_3 = \vec{n}$ .

Тогда

$$\left. \begin{aligned} G_{33} &= \vec{R}'_3 \vec{R}_3 = 1, \\ G_{13} &= \vec{R}'_1 \vec{R}'_3 = (\vec{r}'_1 + z \vec{n}'_1) \vec{n}'_1 = 0, \\ G_{13} &= \vec{R}'_1 \vec{R}'_3 = 0. \end{aligned} \right\} (24)$$

Поэтому

$$\epsilon'_{33} = \frac{1}{2} (G'_{33} - G_{33}) = 0, \quad (25)$$

$$\epsilon'_{13} = \frac{1}{2} (G'_{13} - G_{13}) = 0. \quad (26)$$

Соотношение (25) показывает, что в теории оболочек Кирхгофа-Лява «обжатие» отсутствует. Из соотношения (26) следует, что в этом случае отсутствует и межслойный сдвиг.

Следовательно, для достижения межслойного сдвига волокнистого текстильного материала, находящегося на периферии зубчатого цилиндра, необходимо создать технологические условия для преодоления межволокнистых связей при удовлетворении уравнений равновесия в напряжениях.

#### ЛИТЕРАТУРА

1. Ляв А. Математическая теория упругости. – М.Л.: ОНТИ НКТП СССР, 1935.

Рекомендована кафедрой механической технологии текстильных материалов ИГТА. Поступила 07.10.05